

두개의 不溶性 陽極에 의한 水中 鋼帶의 陰極防蝕에 관한 研究

田 大熙 · 文 慶萬

A Study on the Cathodic Protection of a Steel Strip in the Water by the Double Insoluble Anodes

Jeon Daehi · Moon Kyungman

目次	
Abstract	
記號說明	
1. 序論	5. 電源裝置의 所要電壓, 防蝕의 所要電力 및 最適防蝕條件
2. 實驗裝置와 實驗方法	5.1 電源裝置의 所要電壓의 實驗式
3. 두 陽極間의 分極電位의 理論式과 實測分極電位	5.2 防蝕의 所要電力 實驗式
3.1 分極電位의 理論的 分佈式	5.3 最適防蝕條件
3.2 分極電位의 計算值와 實測值의 比較	
4. 두 陽極間의 分極電位의 計算值과 實測值와 同 一하게 하는 條件	6. 結論
4.1 表面抵抗의 實驗式	參考文獻
4.2 排流點의 分極電位의 實驗式	附錄 I. 表面抵抗(R)의 實驗式 誘導
4.3 分極電位의 補正計算值와 實測值의 比較	附錄 II. 排流點의 分極電位의 實驗式 誘導
	附錄 III. 附表 Table A~C
	附錄 IV. Programming

Abstract

There are two ways on corrosion protection for the metal structures in the water. One is the impressed current method and the other the galvanic anode method. The former has been more used than the latter in the larger metal structures.

In case of protecting a steel strip in the water with the single insoluble anode by the impressed current method, the polarization potential distribution, the influence of the anode location affecting the potential distribution and the required minimum electric power for corrosion protection etc. have been already investigated by Jeon *et al.* But the protection method using the double insoluble anodes has not been studied sufficiently in the theoretical aspect.

The authors have investigated the polarization potential distribution and the influence of the anode location on the minimum electric power for corrosion protection in theoretical and experimental aspects in case of protecting the metal strip in the water with

double insoluble anodes. And the results of this work are as follows;

1) The general formulas for the calculating of cathodic polarization potential on the steel strip between two anodes is given as

$$\begin{aligned} E_x &= E_0 \cosh \alpha(l-x) / \cosh \alpha l \\ &= E_0 \cosh \{(\sqrt{m_0 \rho_s / mt} / \sqrt{R})(l-x)\} / \cosh l (\sqrt{m_0 \rho_s / mt} / \sqrt{R}) \\ E_0 &= \frac{0.532 i_0}{(\log 35h)^{0.5714}} - \frac{3.36}{(35h)^{0.5417}} \\ \sqrt{R} \times 10^3 &= (3.019h + 0.406)x + (274.6h + 84.98) \end{aligned}$$

Where, when the anode height rate is 0.29~0.57, the accuracy of calculated potential approaches approximately to the measured values.

2) The required voltage of power source for the cathodic protection can be determined by

$$V_0 = I_0 (0.733 + 0.069 \log [lh]) \rho \times 10^{-4} + 1.7$$

$$I_0 = 4i_0 m_0 l \times 10^{-4} = i_0 m_0 L \times 10^{-4}$$

3) The required power for cathodic protection can be determined by

$$P = V_0 I_0 = I_0^2 (0.733 + 0.069 \log [lh]) \rho \times 10^{-4} + 1.7 I_0$$

4) The larger the specific resistance of water is, the greater becomes the effect of anode location on the required minimum power for cathodic protection. But when h range is 0.5714~0.6286, the required power is minimum with the specific resistance. And considering the required minimum powers and accuracy of calculated potentials, it is generally desirable that h value is about 0.57, which corresponds approximately to the result of research by Jeon et al.

記 號 說 明

x ;	排流点에서 测定点까지의 距離(cm)
m, m_0 ;	試驗片의 實幅과 露出幅(cm)
l, L ;	試驗片의 1/4長과 全長(cm)
t ;	試驗片의 實두께(cm)
I_0, I_x ;	全 防蝕電流와 x 点을 흐르는 電流(mA)
E_0, E_x ;	排出点과 x 点의 分極電位(mV)
$R, \omega (=R/m_0)$;	試驗片의 表面抵抗($\Omega\text{-cm}^2$)과 1cm 길이當의 試驗片의 表面抵抗($\Omega\text{-cm}$)
$\rho_s, r (= \rho_s / mt)$;	試驗片의 比抵抗($\Omega\text{-cm}$)과 1cm 길이當의 試驗片의 金屬抵抗(Ω/cm)
$\alpha = \sqrt{r/\omega}$;	減衰係數(cm^{-1})
H, h ;	試驗片부터 陽極까지의 높이(cm) 및 높이率(H/l)
V_0 ;	電源裝置의 負荷電壓(V)
i_0, i_x ;	試驗片의 平均印加電流密度(mA/m ²) 및 x 点의 電流密度(mA/m ²)
ρ, ρ_{27} ;	任意溫度와 27°C下의 물의 比抵抗($\Omega\text{-cm}$)
R_{ph} ;	比抵抗 $\rho(\Omega\text{-cm})$ 의 水中에서 陽極높이 H cm일 때의 防蝕回路抵抗(Ω)
P ;	防蝕電力(mW)

1. 序 論

陰極防蝕法은 水中이나 地中의 모든 金屬体에 대하여 適用시킬 수 있는 防蝕法이며, 모든 防蝕法中에서 가장 確實하고 가장 經濟的인 防蝕法으로 定評이 나 있다.^{1),2)} 이 防蝕法에는 外部電源法과 流電陽極法이 있으나, 大型鐵鋼體의 長期間의 防蝕에는 外部電源法이 大多이 利用되고 있다.³⁾

陰極防蝕法에서 가장 重要한 것은 被防蝕体의 各部의 分極電位를 防蝕電位(-770mV SCE) 以下의 거의 均等한 一定值로 維持하는 것이다.^{4),5)} 이렇게 하기 위해서는 大量의 小型의 陽極을 設置하여야 하나, 이 경우에는 陽極의 設置費用이 大量이 들게 되므로, 設置費用을 輕減하기 위해서는 大型陽極을 設置하지 않을 수 없다. 그러나 이 때는 被防蝕体의 分極電位의 分布狀態가 不均等하게 되므로 一部分은 過防蝕되고 一部分은 防蝕不足으로 되기 쉽다. 特히 外部電源法은 經濟的으로 流電陽極法에 比하여 少數의 大型陽極으로 防蝕하므로 被防蝕体의 分極電位 分布狀態가 아주 나쁘며, 陽極設置位置의 適否如何의 영향이 流電陽極法의 경우보다 훨씬 더 크게 나타난다. 또 流電陽極法에서는 大型 밸브스트랭크 등에 陽極의 設定費用을 節減하고 同時에 分極電位의 分布狀態도 좋게 하는 새로운 陽極設置工法⁶⁾이 開發되었으나 外部電源法에는 이것의 適用이 不可能하므로 陽極의 設置位置의 適否는 非常 重要하다.

金屬構造物을 陰極防蝕할 때 被防蝕体의 分極電位分布가 어떻게 되는가에 관한 理論的 解釋은 管 内面의 경우와^{7),8)} 長大한 地下埋設管의 外面의 경우에는¹⁰⁾⁻¹²⁾ 많은 進前이 있으나, 比較的 簡單한 配管의 外面과 大型水槽의 内面 등의 防蝕問題에 있어서는 아직 具體적인 研究實績이 없다. 그러나 褊은 鋼帶의 外面에 대해서 한개의 不溶性 陽極으로 防蝕할 경우의 分極電位分布, 그리고 陽極의 位置가 防蝕電力에 미치는 영향 등에 관해서는 理論的인 面과 實驗的인 面에서 田・閔의 共同研究가¹³⁾ 있다. 그러나 이것은 어디까지나 한개의 不溶性 陽極을 使用한 경우이므로 상당히 긴 파이프에 대해서 몇개의 不溶性 陽極으로 防蝕할 경우에는 適用할 수가 없다. 그러므로 이 研究는 가장 簡單한 被防蝕体에 대한 研究로서 比較的 簡單한 水中の 鋼帶를 試料로 採擇하고 두개의 不溶性 陽極을 設置한 경우 두 陽極사이의 被防蝕体의 分極電位分布, 防蝕에 必要한 印加電壓 및 所要防蝕電力에 미치는 陽極의 位置의 영향을 理論的인 面과 實驗的인 面에서 考察하였다.

그러므로 이 研究는 상당히 긴 鐵鋼製의 配管外面을 몇개의 不溶性 陽極을 利用한 外部電源法으로 防蝕할 때 陽極의 位置에 따라 그 防蝕狀態가 어떻게 變하여 또 가장 經濟的으로 防蝕시킬 수 있는 適正陽極位置가 어느 뜻인가 등을 究明하는데 도움을 줄 것이다.

2. 實驗裝置와 實驗方法

2-1. 實驗裝置

本 研究를 하기 위한 實驗裝置는 Fig. 1과 같아 配置하였다. 即 試驗片은 試驗水槽內의 3個의 絶緣体(砂器사발)위에 놓았으며, 不溶性 陽極은 試驗片의 4等分點의 1, 3等分點 上方에서 높이만을 調節할 수 있도록 固定하였고, 基準電極은 試驗片 上面에 따라서 길이方向으로 움직일 수 있도록 設置한 뒤에 電源裝置와 電位差計를 각각 配線하였다.

이 實驗裝置의 詳細는 다음과 같다.

1) 試驗片(Fig. 2 參照)

試驗片은 길이 145cm, 폭 5cm, 두께 0.3cm의 構造用炭素鋼帶를 使用하여 와이어 브래쉬와 샌드ペ이퍼로 속을 除去하고 아세톤으로 脫脂한 후에 有効作用面積이 140cm \times 3cm가 되도록 露出시키고 그밖의 表面과 全裏面은 ZRP(Zinc Rich Primer)를 1回와 애록지타알塗料를 4回 칠하여 絶緣시켰다.

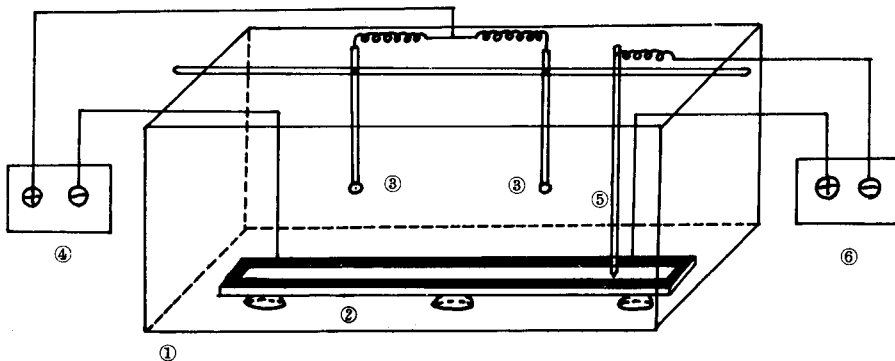


Fig. 1. Experimental equipment

- | | |
|-----------------------------|----------------------------|
| ① Fresh water tank | ④ Electric power source |
| ② Test piece | ⑤ Reference electrode(SCE) |
| ③ Pb-Ag insoluble electrode | ⑥ Potentiometer. |

o) 試驗片의 絶緣塗装은 排流端線과 測定用 端線을 미리 불인後에 하였다. 試驗片의 面積(有効作用面積)은 0.042m^2 이 다.

2) 測定機器

(1) 電位差計 : High resistance D. C. voltmeter

Internal resistance: 100,000 Ω/V

Type: NCE-MR-3E

(2) 電源裝置 : 直流定電壓裝置

$25V \times 3A$ 容量 : 本大學製作

V-A meter: HINOKI 5L 64 tester

(3) 不溶性陽極 : 合銀鉛(Pb-4Ag)電極⁴⁵

$\phi 10$ mm球形 : 本大學 製作

(4) 基準電極 : 飽和カルボン酸電極

Type; Backman RL-B

(5) 實驗用水槽 : 試驗片과 同一하게 内面을 絶緣시킨 軟鋼板 水槽

크기 : $180\text{cm} \times 120\text{cm} \times 60\text{cm}$

容量 : 1吨(水深 : 50cm)

2.2 實驗用水의 質

用水는 清水를 使用하였으나 쇠녹이 많으므로 150g/톤의 黃酸알루미늄粉末을 加하여 清淨시켰다.

o) 實驗用水의 質은 Table 1과 같았으며, 實驗中の 水溫은 $24.6^\circ\text{C} \sim 28.6^\circ\text{C}$ 의 範圍였다.

Table 1. Qualities of fresh water used for the experiments

water temp. °C	pH	Total hardness ppm CaCO_3	Total alkalinity ppm CaCO_3	Chloride ppm Cl^-	Specific resistance $\Omega-\text{cm}$	Specific gravity
27	5.8	700	8	58.5	2210	1.0024

2.3 實驗方法

o) 實驗은 試驗片을 水槽에 浸漬하고 처음 2週日間은 曲間 8時間만 電流密度 $100\text{mA}/\text{m}^2$ 로 陰極

防蝕하고, 그 외의 時間은 無防蝕狀態로 放置해 둠으로써 試驗片을 安定化시켰으며, 이 環境에서充分히 安定되도록 1個月間 放置한 後부터 通電試驗을 開始하였다. 이 때의 試驗片의 自然電位는 -650mV (SCE)였다.

試験片表面의 分極電位는 外部電源에서 防蝕電流를 通電하여 分極電位가 10分間 以上 安定되는 10分後에 測定하였으며, 다음의 測定時까지 自然腐蝕狀態로 即 自然電位가 -650mV (SEC)로 復極되도록 約 50分間을 기다렸다.

試驗片의 分極電位는 不溶性陽極의 位置를 試驗片의 兩끝에서 35cm되는 地點에서 높이 $H=lh$ (l ; 두 不溶性 陽極間의 거리/2=35cm)를 5, 10, 20, 30 및 40cm로 바꾸어가면서, 또 外部에서 印加하는 電流密度를 208.3, 260.4, 312.5mA/m² 및 416.7mA/m²로 바꿔가면서 分極시켜, 각 경우마다 不溶性陽極 直下의 点에서 10cm간격으로 飽和카로멜電極(SCE) 基準으로 測定해서 記錄하였다.

3. 두 양극 간의 分極電位의 理論式과 實測分極電位

3.1 分極電位의 理論的 分布式 (表面抵抗의 非直流通數의 判)

그림과 같이 2개의 陽極을 被防蝕体의 길이를 四等分한 1, 3分点 即 A, B의 두 地点의 上方에 設置해시 防蝕하였을 경우 두 排流束 사이의 分極電位 分布狀態를 考察한다.

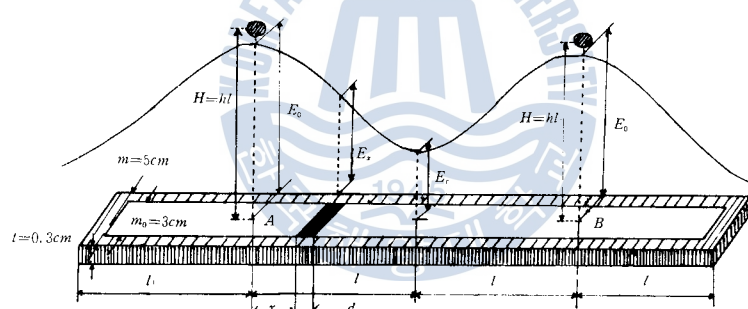


Fig. 2. Polarization potential on the strip protected by cathodic protection

한개의 排流点(A)에서 암쪽으로 x cm 떨어진 곳의 試驗片의 表面積 $m_0 dx (\text{cm}^2)$ 에 流入하는 電流를 $dI_x (\text{A})$ 라 하면 그 電流密度 $dI_x / m_0 dx (\text{A}/\text{cm}^2)$ 에 의해서 일어나는 試驗片 表面의 電位變化, 即 分極值(=實測電位-腐蝕電位) $E_x (\text{V})$ 는 單位 表面積의 表面抵抗($\Omega-\text{cm}^2$)에ن은

면적당 (cm) 단위의試驗片面의表面抵抗을 $w(\Omega \cdot \text{cm})$ 라 하면

(3-1) 과 (3-2)에 서

또 x 점의試驗片을 흐르는電流 $I_x(A)$ 는 dx 間에서 $dE_x(V)$ 의電位變化를 생기게 하므로試驗片의比抵抗을 ρ ($\Omega\text{-cm}$), 單位길이(cm)당의金屬抵抗을 $r(\Omega/\text{cm})$ 과 하되

$$r = \rho_0/m t \quad \dots \dots \dots \quad (3-5)$$

(e) 式을 (3-14) 式에 대입하면

$$I_x = \frac{I_0}{4} \sinh \alpha(l-x)/\sinh \alpha l \quad \dots \dots \dots \quad (3-15)$$

3.2 分極電位의 計算值와 實測值의 比較

$$\int \overline{r} = \int \overline{\tau^2 - \tau \tau'} / (\tau - \tau')$$

$$\alpha = \sqrt{\frac{m_0}{w}} = \sqrt{m_0 \omega_s / m t} / \sqrt{R} = 5.196 \times 10^{-3} / \sqrt{R} \text{ (cm}^{-1}\text{)} \quad \dots\dots\dots(3-18)$$

(3-16)~(3-18)式과 (d)式에서

$$\sqrt{r \cdot w} = r/\alpha = 1.732 \times 10^{-3} \sqrt{R} = \frac{4E_0}{I_0} \tanh \alpha l(\Omega) \dots \dots \dots \quad (3-19)$$

(3-18)式을 (3-13)式에 대입하면 이試驗片上의 두陽極間의 分極電位分布式은

$$E_x = E_0 \cosh \alpha(l-x)/\cosh \alpha l \\ = E_0 \cosh \left(5,196 \times 10^{-3} / \sqrt{R} \right) (l-x)/\cosh l \left(5,196 \times 10^{-3} / \sqrt{R} \right) (\text{mV})$$

..... (3-20)

이 때의 R 의 값을 (3-19) 式에서

$$\sqrt{R} = 0.5774 \times 10^3 \left(\frac{4E_0}{J_0} \right) \tanh \alpha l \left(\Omega^{1/2} \cdot \text{cm} \right) \dots \dots \dots \quad (3-21)$$

即 앞의 假定과 같이 R 가 電流密度에 따라 變하지 않고 全試驗片面에서 一定할 때의 R 값이 (3-21)式이다. 그러므로 이 경우의 R 는 E_0/I_0 만의 函數이다.

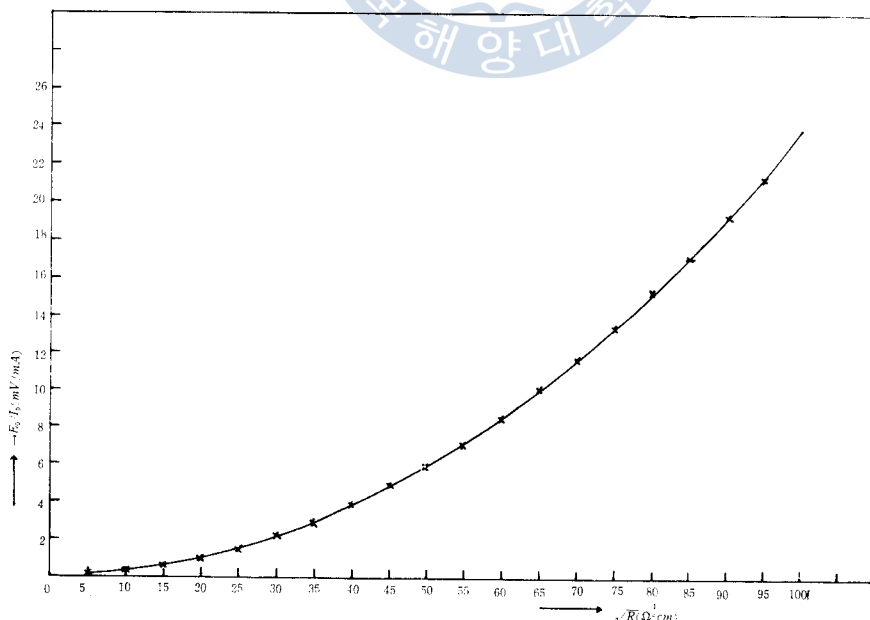


Fig. 3. Relation of E_0/I_0 to \sqrt{R}

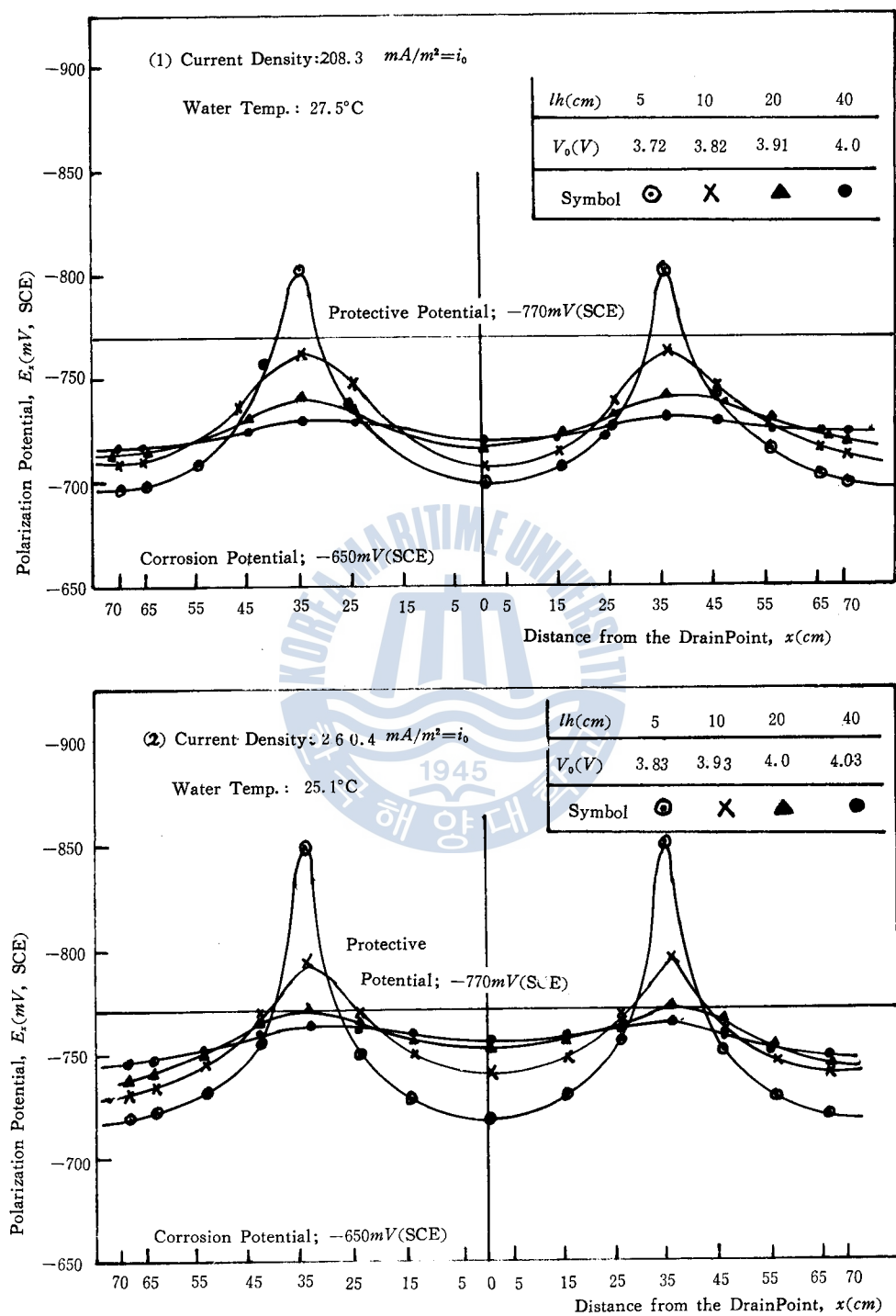


Fig. 4. Cathodic polarization potentials on a steel strip in the water
(Fig. 1. Reference)

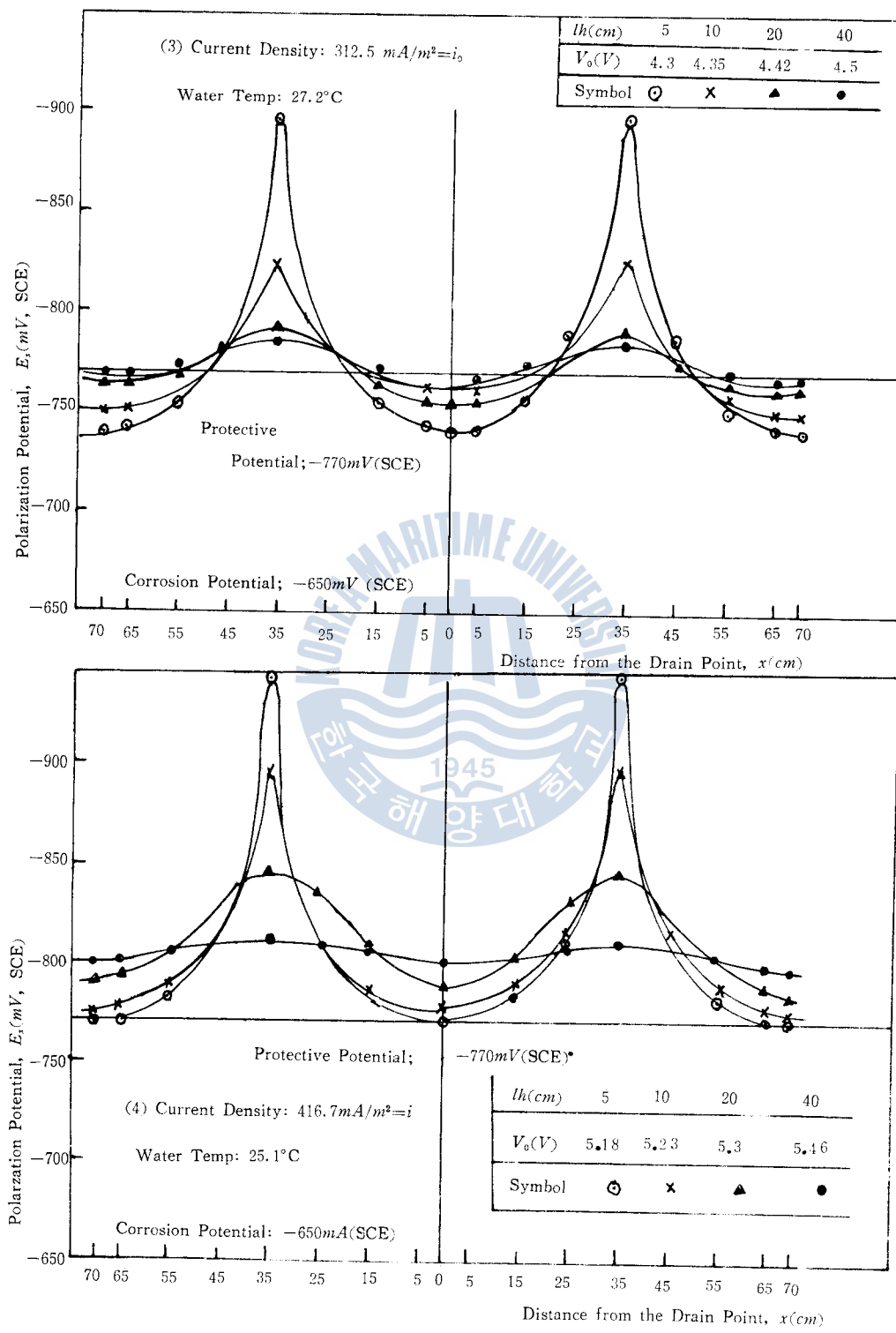


Fig. 4 Cathodic polarization potentials on a steel strip(Continued)

여기에서 \sqrt{R} 의 값을 구하기 위해서 임의의 \sqrt{R} 의 값에 대한 E_0/I_0 의 값을 구하여 Fig. 3과 같이 그림하였다. 그러므로 E_0/I_0 의 값을 알면 Fig. 3에서 그 값에 해당하는 R 의 값을 알 수 있다.

Fig. 4는試驗片의 4等分点上의 1, 3分点 即 A, B点上方에 각 한개의陽極을 設置한 경우에 實測한 分極電位 分布狀態이며, 兩極의 높이率과 陽極의 電流密度에 따라 分極電位의 分布狀態가 어떻게 變하는가를 보여주고 있다.

實驗結果의 한例로서 2個의陽極을 試驗片의 4等分点의 1, 3分点上方에 設置하고 電流密度 i_0 를 312.5mA/m^2 로 하였을 때 陽極높이率 $h = \frac{H}{l}$ 에 대한 $\frac{E_0}{I_0}$ (實測值)와 \sqrt{R} (計算值)를 Table 2의 左半部에 表示했고, 이 實驗에서 測定한 試驗片上의 分極電位와 (3-20)式으로 計算한 分極電位를 同表의 右半部에 表示하였다.

Table 2에서 分極電位의 測定值와 計算值의 兩者間에 큰 差가 있는 것은 表面抵抗 R 을 試驗片各部電流密度의 非函數 即 試驗片全長에 걸쳐 一定이라 看做하였기 때문이며 또한 R 의 값이 Table 2에서 보는 바와 같이 比較的 鍋기 때문이다. 그러므로 이 差異는 陽極의 높이率 h 를 增加시키거나 R 의 값이 커서 試驗片上의 分極電位分布가 고를수록 減少된다. 即, 유도된 公式은 陽極의 높이率 h 가 一定值以上으로 클 경우 또는 表面抵抗 R 의 값이 一定值以上으로 클 경우에만 適用된다.

따라서 試驗片의 길이 $4l$ 과 陽極높이率 h 가 比較的 작고 피막저항 R 의 값이 작은 경우에는 表面抵抗 R 은 各測定點의 電流密度에 따라 變하고 이 测定點의 電流密度 i_x 는 陽極높이率 h 및 排流點에서 测定點까지의 거리 x 의 函數로 다루어야 한다. 따라서 任意點의 分極電位 E_x 는 一定 i_0 下에서 R 를 h 와 x 의 函數로, E_0 를 i_0 와 h 의 函數로 取扱해서 計算하여야 한다.

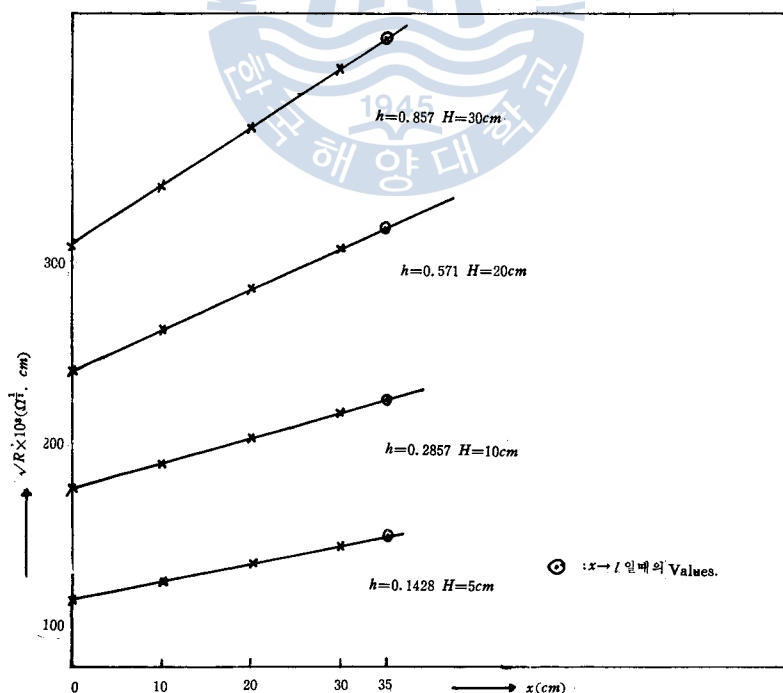


Fig. 5. Relation of x to $\sqrt{R_x}$ when $i_0 = 312.5 \text{ mA/m}^2$

Table 2. Cathodic polarization potentials ($4l=140\text{cm}$ $i_0=312.5\text{mA/m}^2$)

$h=H/l_2$	E_0/I_0 (Ω)	\sqrt{R} ($\Omega^{-1}\cdot\text{cm}$)	M.C*	$x(\text{cm})$	0	10	20	30	35
				0	10	20	30	35	
0.14285	15.3	80	M	230	130	100	95	90	
			C	230.000	222.999	222.999	222.998	222.997	
0.28571	11.3	69.8	M	170	130	120	115	110	
			C	170.000	169.999	169.998	169.998	169.997	
0.571	9.3	62.5	M	140	130	125	120	115	
			C	140.000	139.999	139.998	139.998	139.997	
0.857	9.0	62	M	140	135	130	125	120	
			C	140.000	139.999	139.998	139.998	139.997	

* M; Measured potential(mV) C; Calculated potential(mV) from the Formula(3-20)

4. 두 陽極間의 分極電位의 計算值를 그 實測值와 同一하게 하는 條件

(3-20)式의 $E_x=E_0\cosh\{(5.196\times 10^{-3}/\sqrt{R})(l-x)\}/\cosh l(5.196\times 10^{-3}/\sqrt{R})$ 에서 計算되는 分極電位가 그 實測值와 同一하게 되기 위해서는 前述한 바와 같이 表面抵抗 R 와 陽極蓋이率 h 와 排流点에서 測定点까지의 거리 x 의 函數로 表示되어야 하고 排流点에서의 分極電位 E_0 가 平均 電流密度 i_0 와 陽極蓋이率 h 의 函數로 表示되어야 한다.

4.1 表面抵抗의 實驗式

R 은 一定한 i_0 와 一定한 h 下에서 (3-12)式의 E_c 와 E_x 에 實測值를 代入하여 求하고, 다시 R 과 주어진 h 와의 關係를 求하면 一定한 i_0 下의 R 의 一般式이 求해진다. 即 (3-12)과 (3-18)式에서 다음의 式을 얻을 수 있다.

$$\sqrt{R}\times 10^3 = \frac{5.196(l-x)}{\log \left\{ \frac{E_x}{E_c} + \sqrt{\left(\frac{E_x}{E_c} \right)^2 - 1} \right\}} \quad (4-1)$$

한 예로서 一定 電流密度 $i_0=312.5\text{mA/m}^2$ 下의 各 陽極蓋이率 h 에 대하여 \sqrt{R} 과 x 의 關係는 (4-1)式에 E_c 와 E_x 의 實測值를 代入해서 圖示하면 Fig.5와 같이 直線的으로 된다.

그러므로 그 一般式은

$$\sqrt{R}\times 10^3 = ax + b \quad (4-2)$$

또 (4-2)式의 a 와 b 는 주어진 lh 에 대하여 Fig.6과 같이 直線關係가 있으므로 (4-2)式은

$$\sqrt{R}\times 10^3 = (ch+d)x + (eh+f) \quad (4-3)$$

(4-3)式의 c , d , e 및 f 는 測定值를 代入하여 最少自乘法으로 決定하면 表面抵抗式(附錄 I 參照)은 다음과 같이 된다.

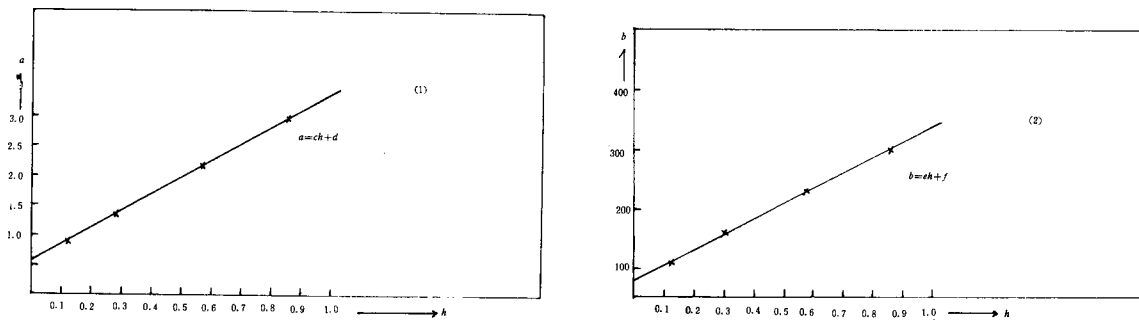


Fig. 6. Relations of a and b to h

4.2 排流点의 分極電位(E_0)의 實驗式

一定한 陽極높이率 h 에 대한 平均電流密度 i_0 와
排流点에서의 分極電位 E_0 의 關係는 實測值(Fig. 4
參照)에 의하여 Fig. 7과 같이 直線의므로.

(4-5)式의 k 와 p 는 h 에 대해서 Fig. 8과 같은
關係가 있으므로 이들 값을 最少自乘法에 의하여
求하면 排流点의 分極電位 E_0 (附錄 II 參照)는

$$E_0 = \frac{0.532i_0}{(\log 35h)^{0.5774}} - \frac{3.36}{(35h)^{0.5417}}$$

.....(4-6)

4.3 分極電位의 補正計算值와 實測值와의 比較

分極電位의 計算值 E_s 는 (3-20)式의 $\sqrt{R} \times 10^3 c$ [
 (4-4)式으로, E_0 가 (4-6)式으로 表示될 때 測定
 値와 近似的으로 같게 될 것이다. 이 分極電位의
 計算值을 補正計算值라고 한다.¹⁵⁾

附錄Ⅲ의 Table A는 本 實驗의 分極電位의 實測值와 그 補正計算值의 比較이고, Table B는 다시 그 實測值에 대항 補正計算值의 比率을 表示한 것이다.

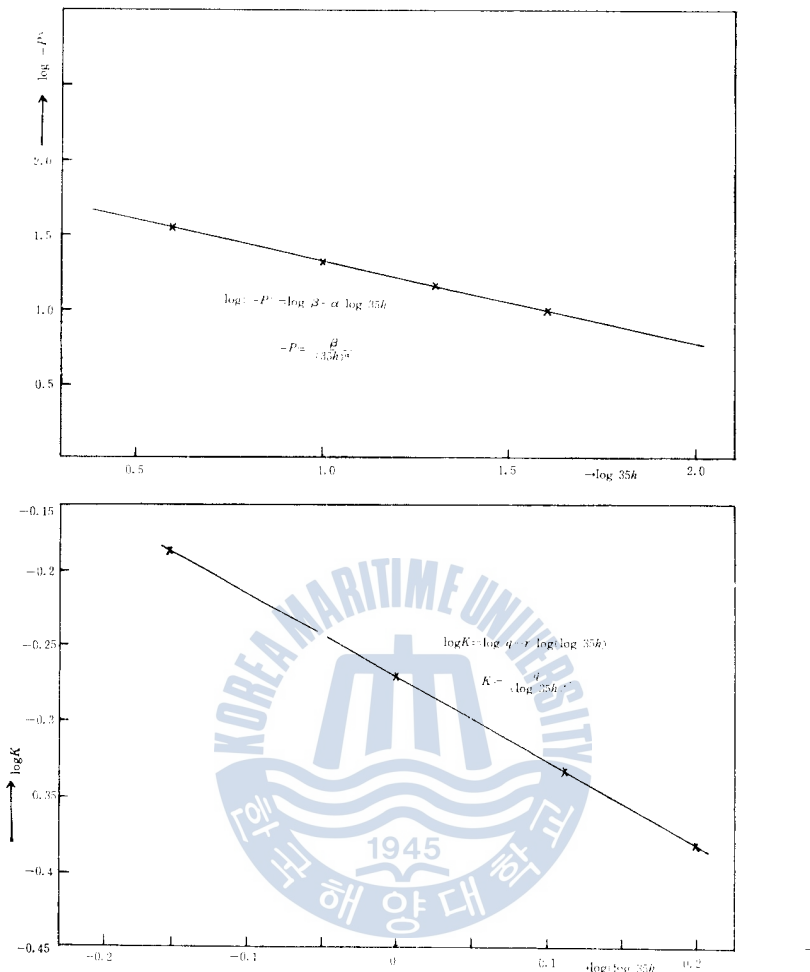
Table B에 의하면 陽極높이率 h 가 0.29~0.57일 때 補正計算值가 實測值에 가장 接近하여, 이 때의 補正計算值는 實測值에 대하여 若干의 特異한 点을 除外하고는 $\pm 10\%$ 以內의 精度를 갖는다는 것을 알 수 있다. 따라서 鋼帶面의 陰分極 電位計算의 一般式은 다음의 式으로 要約되며, 陽極높이率 h 가 0.29~0.57일 때에 精度가 높고 그 誤差는 약 $\pm 10\%$ 以內이다.

$$(3-20): E_r = E_0 \cosh\{\alpha(l-x)\}/\cosh\alpha l$$

$$= E_0 \cosh\{(\sqrt{m_0/m_t}/\sqrt{R})(l-x)\}/\cosh l(\sqrt{m_0/m_t}/\sqrt{R})$$

$$(4-4): \sqrt{R} \times 10^3 = (3.0194 \pm 0.406)x + (274.64 \pm 84.98)$$

$$(4-6); E_0 = \frac{0.532i_0}{(\log 35h)^{0.5774}} - \frac{3.36}{(35h)^{0.5417}}$$

Fig. 8. Relations of $\log 35h$ and $\log(\log 35h)$ to p and k

5. 電源裝置의 所要電壓과 防蝕의 所要電力 및 最適防蝕條件

5.1 電源裝置의 所要電壓의 實驗式

鐵鋼의 防蝕에 不溶性 陽極으로 合銀鉛電極을 使用할 때 PbO_2-Fe 間의 理論的 물分解電壓이 $1.7V^{10)}$ 으로 防蝕電流 I_0 (mA)를 흘리기 위한 所要電壓 V_0 (V)는

$$V_0 = I_0 R_{ph} \times 10^{-8} + 1.7 \quad (5-1)$$

全防蝕回路抵抗 R_{ph} (Ω)는 (5-1)式에서

$$R_{ph} = [(V_0 - 1.7)/I_0] \times 10^8 \quad (5-2)$$

本 實驗에서 不溶性 陽極의 높이 lh 와 全防蝕電流 $I_0 (= 4i_0 m_0 I \times 10^{-4} \text{mA})$ 에 대하여 所要電壓 V_0 는 Table 3과 같으므로 이를 (5-2)式에 代入하여 全防蝕回路抵抗 R_{ph} 와 그 平均值를 求하면 Table 4와 같이 된다.

Fig. 9는 Table 4를 圖示한 것이다. Fig. 9에 의하면 $R_{\rho H}$ 는 $\log[lh]$ ($[lh]$ 는 lh 의 數值, 但 l 은 cm 位元)에 比例함으로

$$R_{\rho H} = (B + C \log[lh]) \rho_{27} = B\rho_{27} + C\rho_{27} \log[lh] = D + E \log[lh] \quad \dots \dots \dots \quad (5-3)$$

(5-3)式의 D , E 를 Table 4의 數值에 의하여 最少自乘法으로 決定하면

$$P=162, 1666 \quad E=15, 3484$$

Table 3 Relations of V_c to lh and L

I_0 (mA)	12.5	15	17.5	20	h
$lh = H$ (cm)					
5	3.83	4.3	4.78	5.18	0.1428
10	3.93	4.35	4.83	5.23	0.2857
20	4.0	4.42	4.90	5.32	0.571
40	4.03	4.5	5.02	5.46	1.143

Table 4. Relations of R_{eff} to lh and L

I_0 (mA)	12.5	15	17.5	20	mean $R_{\rho H}$ (Ω)	$\log[lh]$
$lh = H$ (cm)						
5	170.4	173	176	174	173	0.699
10	178.4	176	178.8	176	177.3	1.000
20	184	181	182	181	182	1.301
40	187	186	189	188	187	1.602

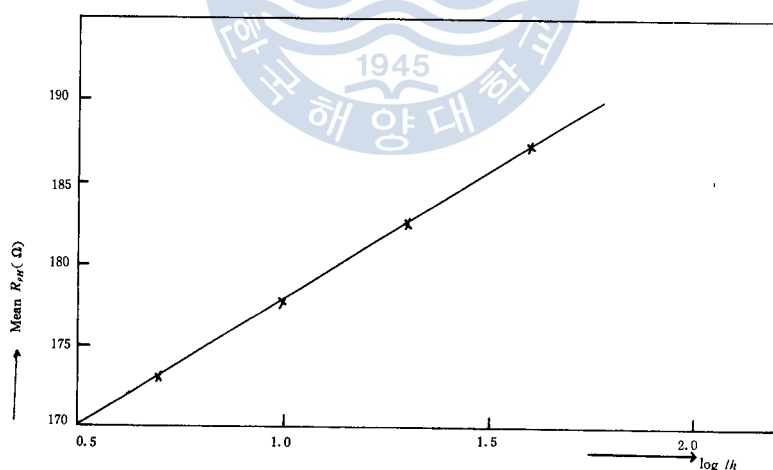


Fig. 9. Relations of mean $R_{\rho H}$ to $\log [lh]$

$$C = E/\rho_{s7} = 15.3484/2210 = 0.069 \times 10^{-1} \quad \dots \dots \dots \quad (5-5)$$

(5-4), (5-5)式을 (5-3)式에 대입하면 防蝕回路의 全抵抗 $R_{\rho H}$ (但 ρ 는 任意溫度下의 물의 比抵抗($\Omega \cdot \text{cm}$))는

(5-6) 式을 (5-1) 式에 대입하면 所要電壓 V_0 은

(5-7)式으로 計算되는 값과 實測值에 대한 %는 附錄 III의 Table C와 같다.

Table C에 의하면 (5-7)式의 所要電壓은 陽極의 耗率 h 나 防蝕電流 I_0 에 關係없이 ±1.0% 以內의 精度를 갖는다.

5.2 防蝕의 所要電力의 實驗式

防蝕에 所要되는 電力 P 는 (5-7)式에서

$$P = I_0 V_0 = I_0^2 (0.733 + 0.069 \log(Ih)) \rho \times 10^{-4} + 1.7I_0, \text{ (mW)} \quad \dots \dots \dots \quad (5-8)$$

(5-7)式이나 (5-8)式에서 I_0 는 所要防蝕電流密度 i_0 에 經驗值를 使用한다면 그 電流密度와 被防蝕面積의 相乘積으로 求해서 活用할 수 있다. 即

5.3 最適防蝕條件

(3-20)式에서 $x=l$ 일 때 $E_x=E_l$ (防蝕에 所要되는 分極值)를 대입하면

(4-4) 式에 $x=l$ 을 대입하면

(4-6) 式은 그대로

$$E_0 = \frac{0.532i_0}{(\log 35h)^{0.5774}} - \frac{3.36}{(35h)^{0.5417}} \dots \quad (5-12)$$

(5-10)~(5-12)式에서 $i_0 = f_1(h)$ 를 구하고 (5-9)式에서 I_0 를 구한 다음에 (5-8)式에서 $P = f_2(h, \rho)$ 를 구한다.

그 다음에 $\frac{\partial P}{\partial h} = 0$ 의 最少條件에서 $h=f_8(\rho)$ 를 求하면 가장 電力를 節省하여서 防蝕할 수 있는
陽極의 位置 h 가 된다. 이 때의 V_0 와 I_0 를 求하면 그것이 電源裝置에 要求되는 最少容量이 될 것
이다.

例로서 本 實驗에 使用되었던 試驗片을 생각하자.

$m=5\text{cm}$, $m_0=3\text{cm}$, $t=0.3\text{cm}$, $l=35\text{cm}$, $\rho_s=13.5 \times 10^{-6}(\Omega\text{-cm})$ 의試驗片에서 두不溶性陽極의中央点이 다음과 같이 120mV 負分極되어야 한다. 即,

따라서 防蝕電力 P 의 算式은 (5-8)式과 (5-9)式에서

$$P = (1.689 + 0.159 \log[35h]) \rho i_0^2 \times 10^{-7} + 0.0816 i_0 \quad \dots \dots \dots \quad (5-14)$$

(5-10) ~ (5-13) 式에서

$$i_0 = 225.6 \cosh \beta (\log 35h)^{0.5774} + \frac{6.3168 (\log 35h)^{0.5774}}{(35h)^{0.5417}} \quad \dots \dots \dots (5-15)$$

$$\beta = -\frac{181.86}{380.27h + 99.19} \quad \dots \dots \dots \quad (5-16)$$

위의 條件下에서 여려가지 ρ 및 lh 값을 代入한 $P(l, \rho)$ 에 대해서 lh 即 h 의 영향을 電算해서 表示하면 Fig. 10과 같다. 이 그림에 의하면 물의 比抵抗 ρ 가 큰 경우는 陽極의 設置位置 h 의 適正問題가 防蝕電力 $P(h, \rho)$ 에 상당히 크게 영향을 미치나 海水와 같이 比抵抗이 작은 경우에는 h 의 增加에 그다지 영향을 미치지 않음을 알 수 있다. 그러나 水中鋼帶의 最少 防蝕電力은一般的으로 물의 比

抵抗 ρ 에 따라서 不溶性陽極의 높이率 h 가 0.5714~0.6286의範圍일 때이다. 이것은 한個의不溶性陽極으로 防蝕할 때의 田・閔의 研究結果인 $h=0.5625\sim0.6875^{17)}$ 와 잘一致한다. 그러므로 鋼帶를 두 個의不溶性陽極으로 防蝕할 때 두 不溶性陽極間에는 本法을 適用하고 두 不溶性陽極의 바깥쪽은 田・閔의 方法을 利用하면 좋겠다.

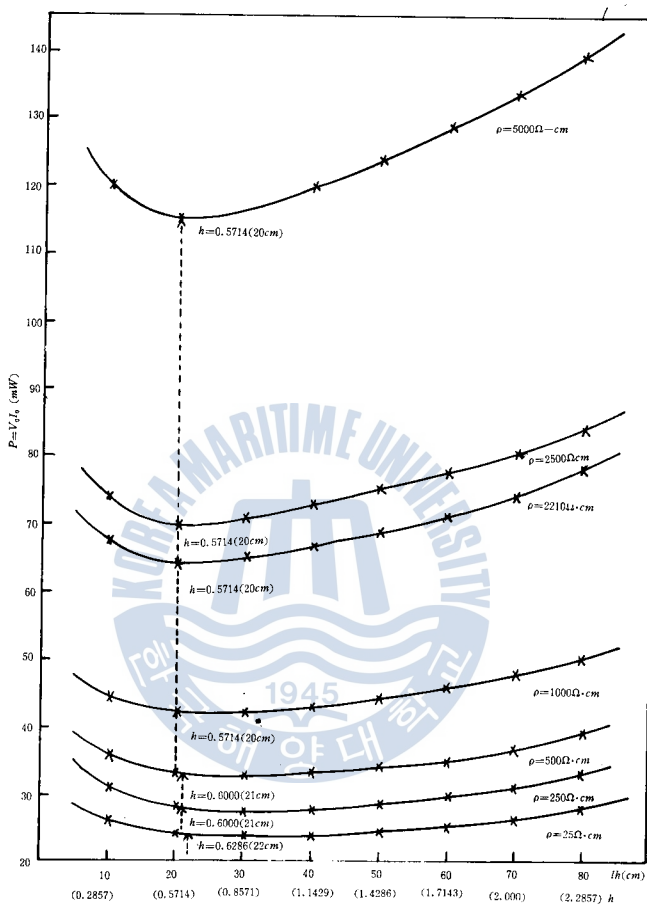


Fig. 10. Relations ρ and h to $P(\rho, h)$

6. 結 論

두개의不溶性陽極에 의한水中鋼帶의陰極防蝕에 관한以上의研究에서 다음의結論을 얻었다.
1) 鋼帶面을 2개의不溶性陽極으로防蝕할 때 두陽極間의陰分極電位는 다음式으로計算할 수 있고, 그精度는陽極높이率 h 가 0.29~0.57의 범위에서 높다.

$$E_x = E_0 \cosh \alpha(l-x) / \cosh \alpha l \\ = E_0 \cosh \{ (\sqrt{m_0 \rho_s / mt} / \sqrt{R}) ((l-x)) / \cosh l (\sqrt{m_0 \rho_s / mt} / \sqrt{R}) \}, \text{ (mV)}$$

$$E_0 = \frac{0.532 i_0}{(\log 35h)^{0.5774}} - \frac{3.36}{(35h)^{0.5417}}, \text{ (mV)}$$

$$\sqrt{R} \times 10^3 = (3.019h + 0.406)x + (274.6h + 84.98), (\Omega^{-1} \text{cm})$$

2) 陰極防蝕用 電源裝置의 所要電壓은 다음 式으로 求할 수 있다.

$$V_0 = I_0(0.733 + 0.069 \log[lh])\rho \times 10^{-4} + 1.7, (\text{V})$$

$$I_0 = 4i_0 m_0 l \times 10^{-4} = i m_0 L \times 10^{-4}, (\text{mA})$$

3) 陰極防蝕의 所要電力은 다음式으로 求할 수 있다.

$$P = V_0 I_0 = I_0^2 (0.733 + 0.069 \log[lh])\rho \times 10^{-4} + 1.7 I_0, (\text{mW})$$

4) 물의 比抵抗(ρ)이 끌수록 陽極의 設置位置(h)의 適正問題가 防蝕電力(P)에 크게 영향을 미친다, 比抵抗이 작은 경우는 그다지 영향을 미치지 않는다. 그러나 最少防蝕電力으로 防蝕할 수 있는 h 는 ρ 에 따라서 0.5714~0.6286의 범위이다. 그러므로 最少防蝕電力와 計算式 精度화를 고려하면 陽極높이率 h 는 0.57内外가 적당하다.

參 考 文 獻

1. G. L. Daly; 防蝕技術, Vol. 15, No. 8, p. 372(1963).
2. H. H. Uhlig; Corrosion and Corrosion Control, John Wiley, p. 195(1965).
3. 田大熙: 腐蝕과 防蝕, 實用編, 韓國海洋大學 圖書出版部, p. 87(1975).
4. 中川雅夫: 電氣防蝕法の實際, 地人書館, pp. 133~134(1967).
5. R. Pope; Uhlig's Corrosion Handbook, John Wiley, p. 942(1963).
6. 篠建彦: 金屬, Vol. 45, No. 8, アクネ, p. 19(1975).
7. J. H. Morgan; Corrosion, Vol. 15, August, NACE, pp. 417~422(1954).
8. 田大熙: 韓國海洋大學 論文集, Vol. 10, pp. 55~76(1975).
9. 佐藤, 山内: 防蝕技術, Vol. 25, No. 10, pp. 611~617(1976).
10. 前掲書(2), p. 352.
11. D. A. Jones; Shreir's Corrosion-2, pp. 11~13~17(1976).
12. 前掲書(5); pp. 942~946.
13. 前掲書(2); p. 352.
14. 前掲書(9); p. 613.
15. 田大熙・閔丙彦: 韓國海洋大學 論文集, Vol. 13, pp. 120(1978).
16. 外島忍: 基礎電気化學, 朝倉書店, p. 333(1965).
17. 前掲書(15); Vol. 13, pp. 123(1978).

附錄 I. 表面抵抗(R)의 實驗式 誘導

(3-12)式 및 (3-18)式을組合해서變形하면

$$\sqrt{R} \times 10^3 = \frac{5.196 \times (l-x)}{\log \left\{ \frac{E_x}{E_c} + \sqrt{\left(\frac{E_x}{E_c} \right)^2 - 1} \right\}} \quad \dots \dots \dots \quad (4-1)$$

(4-1)식에 一定 i_0 와 一定 h 下에서 E_0 와 x 에 대한 E_x 의 测定值를 代入하여 R 을 求하고 다시 이 R 과 주어진 h 의 關係를 求하면 一定 i_0 下의 R 의 一般式을 求할 수 있다. 여기에서 $x=l$ 의 경우 \sqrt{R} 의 値은 理論上 求하여 질 수 없으므로 x 는 l 에 無限히 수렴하는 것으로 생각하여 \sqrt{R} 의 值을 求하였다.

Fig. 5는 이 要領에 의하여 各 h 下의 x 와 $\sqrt{R} \times 10^3$ 의 關係를 求하여 圖示한 것이다. 이 그림에서 各 h 의 경우에 x 와 $\sqrt{R} \times 10^3$ 의 關係가 直線的이므로 다음의 一般式이 成立한다.

$$\sqrt{R} \times 10^3 = ax + b \quad \dots \dots \dots \quad (1)$$

그러므로 ①式에 각 h 下의 x 에 대한 $\sqrt{R} \times 10^3$ 의 計算值를 代入하여 最少自乘法으로 未知數를 決定한다. 但 $ax+b$ 에서 $\sqrt{R} \times 10^3$ 의 相應 b 는 (4-1)式에 $x=0$ 을 代入해서 求하면 Table 5와 같이 된다.

(1) $h=0.14285$ ($H=5\text{cm}$)의 경우

$$P(\sqrt{R} \times 10^3, x) = (10a + 114.3 - 120)^2 + (20a + 114.30 - 132)^2 + (30a + 114.3 - 142)^2 + (35a + 114.3 - 145)^2$$

$$\partial P / \partial a = 0 \text{ 일 때 } 2625a = 2317 \therefore a = 0.881$$

$$\therefore \sqrt{R_1} \times 10^3 = 0.881x + 114.3 \quad \dots \dots \dots \quad ②$$

(2) $h=0.28571$ ($H=10\text{cm}$)의 경우

$$\sqrt{R_2} \times 10^3 = 1.1782x + 177.6 \quad \dots \dots \dots \quad (3)$$

(3) $h=0.5714$ ($H=20\text{cm}$)의 경우

$$\sqrt{R_s} \times 10^3 = 2.2174x + 238.5 \quad \dots \dots \dots \quad (4)$$

(4) $k=0.8571$ ($H=30\text{cm}$)의 경우

② ~ ⑤ 式의 a , b 를 整理하면 Tab.

卷之三十一

Table 5. Relations of a and b to h

100

h	0.14	0.29	0.57	0.857
$lh(\text{cm})$	5	10	20	30
a	0.881	1.1782	2.217	2.974
b	114.3	177.6	238.5	319.6

Fig. 5에 의하여 다음의 一般式이 成立한다.

⑥, ⑦式에 Table 5의 数值를 代入하여 最少自乘法으로 c 와 d 및 e 와 f 를 決定할 수 있다.

$$\text{即 } a = 3.019h + 0.406 \quad \dots \dots \dots \quad (6')$$

$$b = 274.6h + 84.98 \quad \dots \dots \dots \quad 7'$$

그러므로 ① 式에 ⑥', ⑦' 式을 代入하면

附錄 II. 排流點의 分極電位의 實驗式 誘導

Fig. 7은 本 實驗의 測定結果에서 i_0 와 h 에 대한 E_0 를 찾아서 圖示한 것이다. 이 그림에 의하면 각 h 下의 E_0 와 i_0 는 다음의 直線關係가 있다.

그러므로 각 h 에서 측정 결과를 대입하여 최소자리법으로未知数 k 와 p 를 구한다. 예로서 $h = 0.14285(H=5\text{cm})$ 의 경우 $P(E_0, i_0)$ 가 최소로 되기 위해서는 $\partial P / \partial p = 0$ 과 $\partial P / \partial k = 0$ 이 성립되어야 한다.

(1) $h=0.14285$ ($H=5\text{cm}$) の 때

$$P(E_0, i_0) = (208.3k + p - 150)^2 + (260.4k + p - 195)^2 + (312.5k + p - 245)^2 + (416.7k + p - 335)^2 \dots \dots \dots \quad (2)$$

$\partial P / \partial p = 0$ 일 때

382491 $k + 1197.9p = 298180$ 3)

1197.9 $k+4p=925$ 4

③, ④式을 聯立方程式으로 풀면 $k=0.6599$, $p=-34.1$ 이다.

(1)과 同一한 方法으로 (2)~(4)의 경우는

(2) $h=0.28571$ ($H=10\text{cm}$) 일 경우

$$E_{02} = 0.492i_0 - 22.5 \quad \dots \dots \dots \quad (6)$$

(3) $h=0.571$ ($H=20\text{cm}$)의 경우

(4) $h=1.143$ ($H=40\text{cm}$)의 경우

$$E_{\theta_4} = 0.408 i_9 - 11.1 \dots \dots \dots \quad (8)$$

(5)~(7) 式에서 h 에 대학 k 와 p 의

Table. 6. Relations of p and k to $35h$

Table. 6. Relations of ρ and k to 3π

$h(Hcm)$	0.14285(5)	0.28571(10)	0.571(20)	1.143(40)
k	0.6599	0.492	0.457	0.4087
p	-34.1	-22.5	-15.3	-11.1
$\log h$	-0.84512	-0.544075	-0.243364	0.058046
$\log 35h$	0.6987	1	1.30103	1.60206
$\log \log 35h$	-0.1554	0	0.114287	0.20468
$\log k$	-0.180462	-0.3080349	-0.3400838	-0.38933
$\log(-p)$	1.5327544	1.3521825	1.1840914	1.045323

Table 6의 關係를 圖示하면 Fig. 8과 같이 되므로 다음의 關係가 成立한다.

⑨式 및 ⑩式의 α 및 β , 그리고 q , r 를 最少自乘法으로 求하면

$$\log(-p) = \log 3.36 - 0.5417 \log 35h = \log \frac{3.36}{(35h)^{0.5417}}$$

$$\log k = -0.2741 - 0.5774 \log(\log 35h)$$

$$= -\{0.2741 + 0.5774 \log(\log 35h)\} = -\{\log 1.88 + \log(\log 35h)^{0.5774}\}$$

$$= -\{ \log 1.88 (\log 35h)^{0.5774} \}$$

$$-\log k = \log 1.88 (\log 35h)^{0.5774}$$

$$\frac{1}{k} = 1.88(\log 35h)^{0.5774}$$

그러므로 ⑪式과 ⑫式에서

$$E_0 = \frac{0.532t_0}{(\log 35h)^{0.5744}} - \frac{3.36}{(35h)^{0.5417}} \quad \dots \dots \dots \quad (13)$$

附錄 III. 附 表

Table A. The calculated potentials and measured potentials(mV)

[Protected area: 0.042m²]
Length of strip : 1.40m]

i (mA/m ²)	x (cm) h	0	10	20	30	35
208.3	0.14	134.82 (150)	97.35 (80)	79.28 (70)	73.9 (60)	74.88 (55)
	0.29	109.8 (110)	89.14 (90)	79.4 (70)	77.11 (60)	77.95 (60)
	0.57	94.51 (90)	85.08 (85)	80.92 (75)	80.19 (70)	80.75 (70)
	1.143	84.4 (80)	80.49 (80)	79.00 (75)	78.87 (75)	79.16 (75)
260.4	0.14	169.8 (200)	122.61 (115)	99.85 (90)	93.1 (90)	94.31 (70)
	0.29	137.5 (145)	111.62 (120)	99.52 (110)	96.5 (105)	97.6 (90)
	0.57	118.32 (115)	106.79 (115)	101.31 (110)	100.40 (105)	101.10 (100)
	1.143	105.05 (120)	100.25 (115)	98.34 (110)	98.17 (105)	98.53 (100)

	0.14	206.54 (245)	149.11 (130)	121.44 (100)	113.22 (95)	114.72 (90)
312.5	0.29	165.32 (175)	134.19 (130)	119.66 (120)	116.1 (115)	117.37 (110)
	0.57	141.12 (125)	127.06 (130)	120.83 (125)	119.75 (120)	120.58 (115)
	1.143	126.16 (140)	120.40 (135)	118.10 (130)	117.90 (125)	118.33 (120)
	0.14	273.62 (335)	197.57 (170)	160.90 (130)	150.06 (130)	151.97 (120)
416.7	0.29	220.74 (245)	179.20 (175)	159.78 (150)	155.02 (140)	156.72 (130)
	0.57	189.74 (195)	170.79 (175)	162.43 (170)	160.9 (165)	162.09 (160)
	1.143	168.39 (160)	160.71 (155)	157.63 (155)	157.37 (150)	157.94 (150)

*(): Measured potentials

Table B. Calculated Potential
Measured Potential $\times 100(\%)$ [Protected area: 0.042m²]
Length of strip: 1.40m

i (mA/m ²)	x (cm) h	Measured Potential $\times 100(\%)$				
		0	10	20	30	35
208.3	0.14	89.8	121.6	113.2	123.1	136.1
	0.29	99.8	99.3	113.4	128.3	129.8
	0.57	105.0	100.0	107.8	114.2	89.7
	1.143	105.5	100.6	105.3	105.0	105.5
260.4	0.14	89.36	105.6	110.9	103.4	134.7
	0.29	94.8	92.9	90.45	91.9	108.4
	0.57	102.8	92.8	92.0	95.2	101.1
	1.143	87.9	86.9	89.3	93.4	98.5
312.5	0.14	84.3	113.8	121.4	119.1	127.4
	0.29	94.4	103.2	99.6	100.9	106.6
	0.57	112.89	97.6	96.6	99.7	104.3
	1.143	90.1	88.8	90.7	94.32	98.58
416.7	0.14	81.4	116.2	123.0	115.3	124.9
	0.29	90.0	102.2	105.9	110.7	120.5
	0.57	96.92	97.5	95.5	97.5	105.2
	1.143	105.2	103.2	101.6	104.9	105.2

Table C. [Calculated voltage(V_{OC})/Measured voltage(V_{OM})] and the ratio

h	I_o (mA) $lh = H$ (cm)	12.5		15		17.5		20	
		V_{OC}/V_{OM}	%	V_{OC}/V_{OM}	%	V_{OC}/V_{OM}	%	V_{OC}/V_{OM}	%
0.14	5	$\frac{3.85}{3.83}$	100.5	$\frac{4.28}{4.3}$	99.5	$\frac{4.72}{4.78}$	98.7	$\frac{5.15}{5.18}$	99.4
0.29	10	$\frac{3.91}{3.93}$	99.4	$\frac{4.358}{4.35}$	100.1	$\frac{4.80}{4.83}$	99.3	$\frac{5.24}{5.23}$	100.1
0.57	20	$\frac{3.97}{4.0}$	99.2	$\frac{4.427}{4.42}$	100.1	$\frac{4.88}{4.90}$	99.6	$\frac{5.33}{5.32}$	100.1
1.143	40	$\frac{4.031}{4.03}$	100.0	$\frac{4.496}{4.5}$	99.9	$\frac{4.96}{5.02}$	98.8	$\frac{5.43}{5.46}$	99.5

附錄 IV. Programming

PANAFACOM UMOS/D E004 FORTRAN V01/L05 -760101-

ISM	STNO.	SOURCE STATEMENT
		CALCULATION OF FUNCTION
1		REAL I0
2	40	READ(7,10) RHO
3	10	FORMAT(F6.0)

	0.14	206.54 (245)	149.11 (130)	121.44 (100)	113.22 (95)	114.72 (90)
312.5	0.29	165.32 (175)	134.19 (130)	119.66 (120)	116.1 (115)	117.37 (110)
	0.57	141.12 (125)	127.06 (130)	120.83 (125)	119.75 (120)	120.58 (115)
	1.143	126.16 (140)	120.40 (135)	118.10 (130)	117.90 (125)	118.33 (120)
	0.14	273.62 (335)	197.57 (170)	160.90 (130)	150.06 (130)	151.97 (120)
416.7	0.29	220.74 (245)	179.20 (175)	159.78 (150)	155.02 (140)	156.72 (130)
	0.57	189.74 (195)	170.79 (175)	162.43 (170)	160.9 (165)	162.09 (160)
	1.143	168.39 (160)	160.71 (155)	157.63 (155)	157.37 (150)	157.94 (150)

*(): Measured potentials

Table B. Calculated Potential $\times 100(\%)$ [Protected area: 0.042m²]
Measured Potential [Length of strip: 1.40m]

$i(\text{mA/m}^2)$	$x(\text{cm})$	Measured Potential $\times 100(\%)$				
		0	10	20	30	35
208.3	0.14	89.8	121.6	113.2	123.1	136.1
	0.29	99.8	99.3	113.4	128.3	129.8
	0.57	105.0	100.0	107.8	114.2	89.7
	1.143	105.5	100.6	105.3	105.0	105.5
260.4	0.14	89.36	105.6	110.9	103.4	134.7
	0.29	94.8	92.9	90.45	91.9	108.4
	0.57	102.8	92.8	92.0	95.2	101.1
	1.143	87.9	86.9	89.3	93.4	98.5
312.5	0.14	84.3	113.8	121.4	119.1	127.4
	0.29	94.4	103.2	99.6	100.9	106.6
	0.57	112.89	97.6	96.6	99.7	104.3
	1.143	90.1	88.8	90.7	94.32	98.58
416.7	0.14	81.4	116.2	123.0	115.3	124.9
	0.29	90.0	102.2	105.9	110.7	120.5
	0.57	96.92	97.5	95.5	97.5	105.2
	1.143	105.2	103.2	101.6	104.9	105.2

Table C. [Calculated voltage(V_{OC})/Measured voltage(V_{OM})] and the ratio

h	I_o (mA) $lh = H$ (cm)	12.5		15		17.5		20	
		V_{OC}/V_{OM}	%	V_{OC}/V_{OM}	%	V_{OC}/V_{OM}	%	V_{OC}/V_{OM}	%
0.14	5	$\frac{3.85}{3.83}$	100.5	$\frac{4.28}{4.3}$	99.5	$\frac{4.72}{4.78}$	98.7	$\frac{5.15}{5.18}$	99.4
0.29	10	$\frac{3.91}{3.93}$	99.4	$\frac{4.358}{4.35}$	100.1	$\frac{4.80}{4.83}$	99.3	$\frac{5.24}{5.23}$	100.1
0.57	20	$\frac{3.97}{4.0}$	99.2	$\frac{4.427}{4.42}$	100.1	$\frac{4.88}{4.90}$	99.6	$\frac{5.33}{5.32}$	100.1
1.143	40	$\frac{4.031}{4.03}$	100.0	$\frac{4.496}{4.5}$	99.9	$\frac{4.96}{5.02}$	98.8	$\frac{5.43}{5.46}$	99.5

附錄 IV. Programming

PANAFACOM	UMOS/D	E004	FORTRAN	V01/L05	-760101-
ISM	STNO.	SOURCE STATEMENT			
		CALCULATION OF FUNCTION			
1		REAL I0			
2	40	READ(7,10) RHO			
3	10	FORMAT(F6.0)			
4		WRITE(8,100)			
5	100	FORMAT(5X, 1H1, 5X, 5H RHO, 7X, 5H BETA, 9X, 2HIO, 9X, 2HHI, 9X, 1HP)			
6		IF(RHO-0.0)50, 50, 60			
7	60	DO 30 J=1,80			
8		H=1.0*FLOAT(J)			
9		H1=H/35.			
10		BETA=181.86(380.27*H1+99.19)			
11		X=(EXP(BETA)+EXP(-BETA))/2.			
12		Y= ALOG10(35.*H1)			
13		IO=225.6*X*Y**0.5774+6.3168*Y**0.5774/(35.*H1)**0.5417			
14		P=(1.689+0.159* ALOG10(35.*H1)*RHO*I0**2*1.0E-07+0.0816*I0			
15		WRITE(8,20)J, RHO, BETA, I0, H1, P			
16	20	FORMAT(5X,I2,5(2X,F10.4))			
17	30	CONTINUE			
18		GO TO 40			
19	50	STOP			
20		END			